

Таблица 1  
Основные параметры приборов на вновь открытых сейсмических станциях

Сейсмическая станция	Дата открытия (1980 г.)	Тип аппаратуры	$V_m$			Примечание
			N-S	E-W	Z	
Гезан	XII	СКМ-3 + ГБ-4 СМ-3 + ГБ-4 СМ-3 + ГБ-4	30000	30000	30000	ТИССАН ТаджССР ТИССАН ТаджССР
Султанаабад	I	СКМ-3 + ГБ-4	1000	1000	1000	ИС АН КазССР
Мерсан	I	СКМ-3 + ГБ-4 СКМ-3 + ГБ-3 СКЛ + ГК-7 СКЛ + ГК-7	40000 2000 1050 50	40000 2000 1050 50	40000 2000 1050 50	ИС АН КазССР ИС АН УзССР То же
Зарабат	IV	СКМ-3 + ГК-7	30000	30000	30000	ИС АН УзССР
Коканд	X	СКМ-3 + ГК-7	15000	15000	15000	То же
Наманган	XII	СКМ-3 + ГБ-3	5000	5000	5000	То же

Таблица 2

Количество землетрясений и их распределение  
в зависимости от глубины источника и энергетического класса

Год	Всего ( $K \geq 9$ )	Глубокие		
		$K = 9$	$K \geq 10$	$K = 9$
1976	1749	513	375	421
1977	1626	518	307	438
1978	1919	592	495	380
1979	2047	624	356	681
1980	2354	660	396	905

шое количество очагов слабых землетрясений на западе республики, что свидетельствует о росте малых по размеру трещин в районе Большого Балхана.

В последние годы наблюдается миграция очагов землетрясений по глубине в районе поселков Кене-Кесир и Чанлыр: появляются свежие трещины, слышен сильный гул, ощущаются значительные колебания, в домах отмечены повреждения. Регистрирует эти землетрясения с  $K \geq 9$  практически одна станция — Карса-Кала. Другие же станции эти землетрясения не регистрируют или дают еле заметные записи, непригодные к обработке (даже при  $K = 9$ ), что свидетельствует о раскрытии трещин в верхней части земной коры в указанном районе Туркмении.

ЛИТЕРАТУРА

1. Рудман Т.Г. Затухание сейсмических волн и энергия землетрясений. — Тр. ТИССАН ТаджССР 1960, т. 7, с. 41–96.

А.И. Баринова, Г.Н. Шакиржанова, К.Д. Джанузаков, Н.Н. Михайлова,  
А.А. Абдукальиров, Г.А. Кинчина, А.В. Шварц, Р.У. Джухаев, Х.М. Мирабаев,  
К.Х. Испашлахунов, В.К. Иофко

УДК 550.348.4:36 (574/575)

Землетрясения Средней Азии и Казахстана

Введение

Изучение сейсмичности и составление каталога землетрясений в 1980 г. проводились для территории Средней Азии и Казахстана по той же методике, что и в 1979 г. Землетрясения регистрировались в основном той же сетью сейсмических станций, что и в предыдущие годы. Продолжалась модернизация старых и открытие новых сейсмических станций.

В ТИССАН Таджикской ССР прекратили работу в конце марта станция Келагай, которая расположалась на территории Афганистана, и 31 декабря — Шинги. Открыты новые сейсмические станции Гезан (вместо Шинги) и Султанаабад. В ИС Киргизской ССР 31 марта закрыта экспедиционная сейсмическая станция Чалма, которая перенесена в июле 1980 г. в Салом-Алик. В ИС Узбекистана открыта сейсмическая станция Зарарабат вместо станции Термез. Закрыта в мае 1980 г. сейсмическая станция Коканд была вновь открыта в октябре 1980 г. В мае и июне увеличение приборов сейсмических станций Гамиль-Булак (30000), Кулкудук (30000) и Агаплык (20000) было доведено до 50000. На сейсмической станции Ферганы увеличение аппаратурой СКМ-3 повышенено в июле с 10000 до 15000.

Сведения о вновь открытых и переоборудованных станциях республик Средней Азии и Казахстана приведены в табл. 1. Точность определения координат эпицентров сохранилась на прежнем уровне [1].

Особенности проявления сейсмичности

В результате обработки инструментальных данных в 1980 г. были определены основные параметры для 2354 землетрясений с  $K \geq 9$ . Из них очаги 1056 землетрясений расположены в пределах земной коры и 1298 — глубже 70 км. Результаты сравнения общего количества землетрясений с  $K = 9$  и  $K \geq 10$  за последние пять лет приведены в табл. 2.

Из таблицы видно, что в 1980 г. число землетрясений с  $K = 9$  оказалось максимальным за пятилетие, причем количество глубоких землетрясений является наиболь-

толика. Лишь один толчок имел  $K = 9$ . Всего к концу года зарегистрировано 34 афтершока.

Карта эпицентров исследуемой территории, построенная для представительных и сильных землетрясений, приведена на рис. 1 (см. вкл.). Эпицентры, как и в предыдущие годы, расположены в виде полос, вытянутых преимущественно в субширотном и северо-восточном направлениях. Из сравнения карты эпицентров 1980 г. с аналогичной картой 1979 г. видно, что на востоке изучаемой территории в 1980 г. наблюдалось небольшое повышение сейсмической активности, связанное с увеличением количества коровых землетрясений с  $K = 9 \div 10$ , а также с  $K = 13 \div 14$ . Они произошли в северо-восточной части Таджикской депрессии в зоне наибольшего сближения структур Памира и Южного Тянь-Шаня. Если в 1979 г. в этой зоне наиболее сильных были землетрясения с  $K = 12$ , то в 1980 г. здесь зарегистрированы три землетрясения с  $K = 13$ , которые вместе с афтершоками более слабых энергетических классов ( $9 \div 11$ ) образовали группы на отдельных участках этой зоны. Две группы возникли в очаговых зонах сильных землетрясений 1978 г.: 1 ноября ( $K = 16$ , Дарагут-Курганское) и 8 октября ( $K = 15$ , западный Кунь-Лунь). Это свидетельствует о том, что процесс активизации очаговых зон этих двух землетрясений в 1980 г. еще не закончился.

Сохранялась высокая сейсмичность на юге Таджикистана в зоне сочленения Афгано-Таджикской впадины с Гиндукушем. Здесь произошли три сильных ( $K = 13 \div 14$ ) и два более слабых землетрясения. Первое землетрясение, 14 апреля, возникло в 10 ч 17 мин с максимальной энергией  $K = 14$  ( $M = 5,6$ ), второе — через 5 мин, в 10 ч 22 мин с  $K = 13$ , 22 марта в 19 ч 33 мин опустился толчок с  $K = 13$ . Координаты землетрясений:  $\varphi = 36,3^\circ \div 36,5^\circ$ ,  $N$ ,  $\lambda = 69,3^\circ \div 69,4^\circ$  E. Эпицентральная зона афтершоков этих землетрясений заняла площадь, равную примерно  $2000 \text{ km}^2$ . Два землетрясения с  $K = 12$  зарегистрированы к западу от этой эпицентральной зоны и явились продолжением сейсмической активности трех толчков 1979 г. с  $K = 13$ , произошедших 30 и 31 августа, а в 50 км к северо-востоку от них начал формироваться новый район землетрясений с  $K = 12$ .

Как и в 1979 г., продолжал оставаться активным дизъюнктивный узел, образованный Центрально-Памирским и Бартанг-Шарским разломами. Здесь в основном происходили землетрясения небольших энергий ( $K = 8 \div 11$ ) и лишь один с  $K = 12$ . Активно продолжала функционировать сейсмогенная зона, расположенная в пределах Московского, Пянджского и Пархарского районов Таджикистана, граничащих с Афганистаном. По сравнению с 1979 г. основная сейсмичность сместилась в зону относительного затишья, в которой 14 февраля в 10 ч 37 мин возникло Пянджское землетрясение с  $K = 13$  ( $M = 5,0$ ) с координатами  $\varphi = 37,1^\circ$  N и  $\lambda = 69,3^\circ$  E. В течение первых суток после главного толчка было зарегистрировано 16 афтершоков различных энергетических классов, три из которых имели  $K = 12$  и те же координаты, что и главный толчок. Всего до конца февраля возникло 38 афтершоков с  $K = 8 \div 12$ . Несколько ослабла сейсмическая активность вокруг Куляба. Низкой сейсмичностью коровых землетрясений характеризовалась весь Памир, район Гиндукуша, западные области Афгано-Таджикской впадины и срединные массивы Южного Тянь-Шаня.

В Северном и Центральном Тянь-Шане плотность эпицентров невелика, и они группируются в виде отдельных скоплений. Ингересно отметить, что в 1980 г. зарегистрировано одно землетрясение с  $K = 11$  в очаговой зоне Баканского землетрясения 25 сентября ( $K = 14$ ). Ранее эта область считалась асейсмичной, до и после основного толчка не было зарегистрировано ни одного землетрясения, кроме упомянутого.

В Центральном Тянь-Шане 5 июля в 20 ч 25 мин произошло землетрясение с  $K = 14$ . Оно возникло на юге озера Иссык-Куль, и по сравнению с очагом 1979 г. ( $K = 13$ ) его эпицентр сместился на несколько километров к юго-востоку.

В северо-западной части Узбекистана на практическом фоне продолжается активность Газлийского очага разрушительного землетрясения 1976 г. Здесь зарегистрированы одно землетрясение с  $K = 12$  и три с  $K = 11$ . Необходимо отметить,

34

что эпицентры двух землетрясений ( $K = 12$  и 11) сместились северо-восточнее на 60–70 км от основного эпицентра 1976 г.

Памиро-Гиндукушская эпицентральная зона глубоких землетрясений не изменила своей конфигурации в пространстве по сравнению с прошлым годом, она остается практически стабильной на протяжении всего периода инструментальных сейсмических наблюдений. Сейсмическая активность в зоне из года в год является достаточно высокой. Но тем не менее в 1980 г. в отдельных областях Памиро-Гиндукушской зоны глубоких землетрясений наблюдаются некоторые изменения в пространственном распределении эпицентров различных энергетических классов. Например, значительно активизировалася в 1979 г. памирская часть эпицентральной зоны в 1980 г. отмечена лишь двумя землетрясениями с  $K = 12$  (в 1979 г. было 12 землетрясений с  $K = 12 \div 13$ ). Эпицентры в пределах Памира слегка сместились в восточном направлении, как бы продолжая зону в Западный Кунь-Лунь. Однако большинство толчков с  $K = 9 \div 11$  и один с  $K = 12$  в северо-восточной части эпицентральной зоны сконцентрировались в районе Мургаба, глубина залегания очагов 110–180 км. Второе землетрясение с  $K = 12$  на Памире возникло северо-восточнее г. Хорога. В самой активной области глубоких гиндукушских землетрясений зарегистрированы два толчка с  $K = 14$  на глубине 140 и 210 км, пять с  $K = 13$  на глубине 80–190 км. По сравнению с 1979 г. в этой области также заметна незначительная миграция глубоких землетрясений с  $K = 12$  в восточном и северо-восточном направлениях.

#### Количественные параметры сейсмичности

Наиболее важными количественными характеристиками сейсмичности являются наклон графика повторяемости  $\gamma$ , величина сейсмической активности  $A_{10}$  и плотность выделяемой сейсмической энергии  $E$ , Дж. В табл. 3 приведены распределения землетрясений по энергетическим классам и все данные для построения графиков повторяемости.

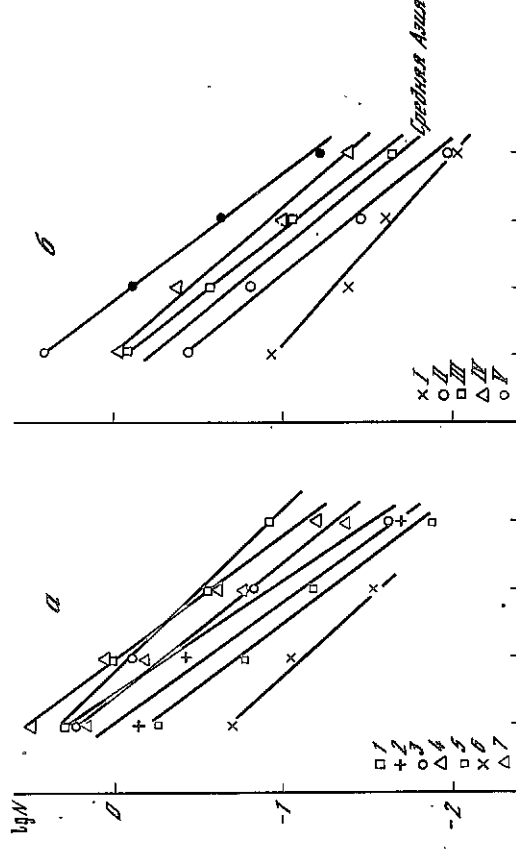


Рис. 2. Графики повторяемости землетрясений в сейсмоактивных районах (a) и сейсмоген-  
ных зонах (б).  
a: 1 — Гиндукуш (№ 1); 2 — Южный Памир (№ 2); 3 — Северный Памир (№ 3); 4 — Таджи-  
кская депрессия (№ 4); 5 — Южный Тянь-Шань (№ 5); 6 — Северный Тянь-Шань; 7 — Центральный Тянь-Шань; III — долина; б: I — Северный Тянь-Шань; II — Центральный Тянь-Шань; III — Южный Тянь-Шань; IV — Памиро-Гиндукуш (коровье); V — Памиро-Гиндукуш (глубокие)

Таблица 3

Данные для построения графиков повторяемости по районам и зонам

Название и номер зоны и района	Распределение землетрясений по энергетическому классу К	S, км <sup>2</sup>					
		9	10	11	12	13	14
I. Северный Тянь-Шань	21	9	3				
Район № 7 (Северный Тянь-Шань)							
II. Центральный Тянь-Шань	40	19	4	(1)	(1)		
Район № 8 (Ферганская долина)							
III. Южный Тянь-Шань (Южный Тянь-Шань)	122	38	15	(3)	(1)		
Район № 4 (Таджикская депрессия)	100	33	8	2	(1)		
IV. Памиро-Гиндукуш (коровье)	(147)	76	21	9	3	(1)	
Район № 1 (Гиндукуш)							
Район № 3 (Северный Памир)	83	36	7	(1)	(1)		
V. Памиро-Гиндукуш (глубокие)	(620)	195	53	18	5	(2)	
Район № 1 (Гиндукуш)	(285)	82	30	3			
Район № 2 (Южный Памир)	32	12	7	3			
Районы № 7, 13, -19							
II. Центральный Тянь-Шань	117	50	11	3	3	(1)	
Районы № 6, 8, 9, 10, 20--22							
III. Южный Тянь-Шань	222	71	23	5	(2)		
Районы № 4, 5, 23							
IV. Памиро-Гиндукуш (коровье)	(289)	149	33	14	7	(2)	
V. Памиро-Гиндукуш (глубокие)	(905)	279	86	21	5	2	
Районы № 1-3, 11, 12							
Районы № 1-3, 11, 12							

Примечание. Данные в скобках в расчетах не использовались.

Таблица 4  
Параметры сейсмического режима, определенные по сейсмическим данным за 1980 г.

Название и номер зоны и района	Долговременные средние значения $\gamma$	$\sigma_{\gamma}$				$A_{10}$
		$\gamma$	$\sigma_{\gamma}$	$A_{10}$		
I. Северный Тянь-Шань	-0,50	-0,33	$\pm 0,03$	0,05		
II. Центральный Тянь-Шань	-0,49	-0,46	$\pm 0,05$	0,12		
III. Южный Тянь-Шань	-0,49	-0,50	$\pm 0,02$	0,26		
IV. Памиро-Гиндукуш (коровье)	-0,46	-0,45	$\pm 0,04$	0,34		
V. Памиро-Гиндукуш (глубокие)	-0,54	-0,54	$\pm 0,03$	0,8		
Северный Тянь-Шань (№ 7)	I. Северный Тянь-Шань	-0,5	-0,42	$\pm 0,04$	0,08	
Ферганская долина (№ 8)	II. Центральный Тянь-Шань	-0,46	-0,5	$\pm 0,04$	0,56	
Таджикская депрессия (№ 4)	III. Южный Тянь-Шань	-0,41	-0,57	$\pm 0,05$	0,92	
Южный Тянь-Шань (№ 5)	-0,49	-0,46	$\pm 0,05$	0,18		
Гиндукуш (№ 1)	IV. Памиро-Гиндукуш (коровье)	-0,46	-0,45	$\pm 0,04$	0,96	
Северный Памир (№ 3)	-0,46	-0,54	$\pm 0,05$	0,6		

Общее число землетрясений в 1980 г. незначительно превысило их количество в 1979 г., но выделившаяся энергия в анализируемом году заметно превышает энергию предыдущего года. Это объясняется возникновением в Центральном Тянь-Шане в 1980 г. одного землетрясения 14-го энергетического класса.

Наклон графика повторяемости Центрального Тянь-Шаня (зона II) в 1980 г. (табл. 4, рис. 2) несколько уменьшился по сравнению с прошлым годом и в пределах точности его определения совпадает с долговременным значением. В зоне Южного Тянь-Шаня (зона III) наклон графика повторяемости в пределах точности его измерения остался на прежнем уровне и совпадает с его долговременными значениями. Число землетрясений в зоне несколько увеличилось, но выделившаяся энергия осталась на прежнем уровне.

В Памиро-Гиндукушской зоне (IV) число коровых землетрясений в 1980 г. практически не изменилось, но наклон графика повторяемости сейсмической энергии претерпел существенные изменения. Наклон графика повторяемости уменьшился в 1980 г. до  $0,45$ , от его значения  $-0,52$  в 1979 г. и соответствует его долговременным значениям. Это произошло из-за увеличения числа относительно сильных землетрясений в этой зоне в 1980 г., и в том числе двух толчков 14-го энергетического класса. Для глубокогорных землетрясений Памиро-Гиндукушской зоны ( $H > 70$ ) наклон графика повторяемости практически не изменился, число землетрясений несколько увеличилось, но суммарной энергии в 1980 г. выделилось меньше, так как в 1979 г. в этой зоне произошло сильное глубокое землетрясение с  $K = 15$ .

Что касается сейсмогенной зоны Северного Тянь-Шаня (зона I), то в ней происходит небольшое количество землетрясений ежегодно и график повторяемости является не-пространственным. Он заметно уменьшился по сравнению с 1979 г., общее число землетрясений несколько увеличилось, но выделившаяся энергия значительно уступает по величине предыдущему году из известного Баканского землетрясения с  $K = 14$ .

## Макросейсмические следения о землетрясениях

Макросейсмические данные о 99 землетрясениях, опущавшихся в пределах Средней Азии с разной силой, представлены и в региональном каталоге Средней Азии и Казахстана с  $K \geq 9$ . К. Кугу от оз. Иссык-Куль на южном склоне хр. Терекской Ая-тоги 5 июня произошло самое сильное землетрясение с  $K = 14$ ,  $M = 5, 6$  (рис. 3). Его глубина по макросейсмическим данным составляет  $h_I = 27$  км,  $h_{I_0M} = 19$  км. Изосейсты этого землетрясения охватывают болотистую шлюпальду, образуя форму эпилепсисов, ориентированных субширотно. В населенных пунктах эпцентральной шлюпальной зоны (табл. 5) землетрясение проявилось в основном в виде резких горизонтальных колебаний, перед которыми был слышен гул. В разных населенных пунктах характер гула несколько различался: он был громкодобрым, похожим на шум ветра, шум моторов автомобилей, тракторов. Жители просыпались, выбегали из помещений. Раскачивались предметы, падали неустойчиво стоящие предметы, дребезжали стекла и посуда, был слышен треск и скрип мебели, полов, дверей. В стенах многих зданий появлялись тонкие трещины, вдоль которых кое-где отваливалась и отпадала штука-турка.

В пятебалльной зоне почти все жители проснулись от горизонтальных толчков, многие слышали подземный гул. Заметено колебание стекол в окнах. В четырехбалльной зоне землетрясение было замечено большинством жителей, некоторые слышали подземный гул. Это землетрясение возникло в зоне Терекской-Таласского разлома, где в прошлом известны сильные землетрясения. Здесь произошло пятебалльное Барскаунское землетрясение 1979 г. [3], в восточной части зоны — восемьбалльное Сары-Камышевское землетрясение с  $M = 6, 8$  [4] в 1970 г.

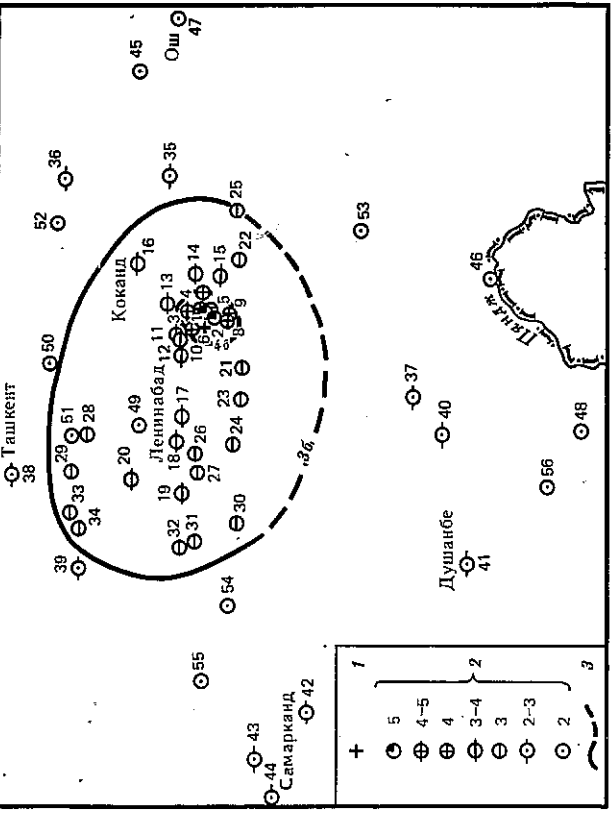


Рис. 4. Схема изосейсм Шурабского землетрясения 11.июля 1980 г. Сост. А.В. Шварц и В.К. Иодко.  
Условные обозначения те же, что на рис. 3

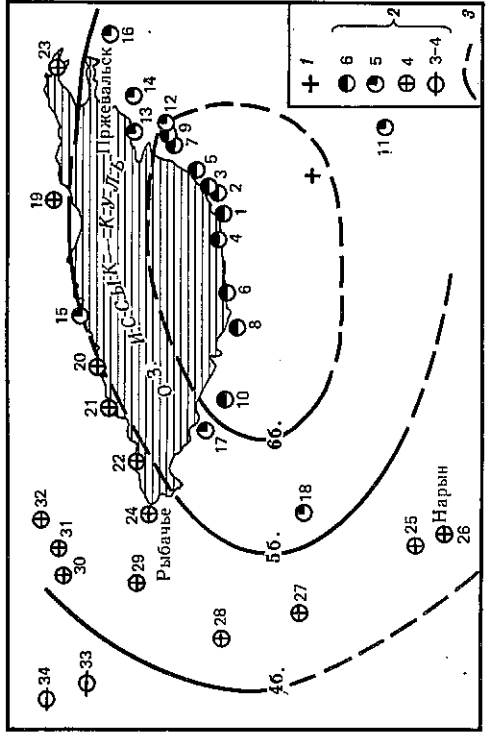


Рис. 3. Схема изосейсм землетрясения 5 июля 1980 г. Сост. К.Х. Исмоилихуонов  
1 – эпицентр по инструментальным данным; 2 – балльность; 3 – изосейста

К юго-западу от оз. Иссык-Куль отмечено землетрясение 19 марта с  $K = 12$ . Интенсивностью 5 баллов оно опутило в населенных пунктах Достук, Дюрбельдин, Джанбулак, 4–5 баллов – в Карабулаке, Ахбали, Баскыне. В населенных пунктах Ак-Муз, Ак-Моюн, Кулонак, совхоз "8 Марта", Казарман, Капинин – 4 балла, Пограничник, Нарын – 3–4 балла, Чег-Булак – 3 балла, Алма-Ата и Андикан – 2 балла.

К югу от Таласо-Ферганского разлома, в Центральном Тянь-Шане, произошло три опутанных землетрясения. Одно из них 3 января с  $K = 11$  и  $H = 15$  км опутило в Халқабаде силой 5 баллов, в населенных пунктах Пап, Ўйурсай, Гулбах – 4–5 баллов, Атлас – 4 балла, Буйайде – 3–4 балла, Ургатокайское водохранилище, Тенг Курган, Чуст – 3 балла, Кайраккум, Ферганা, Чартак (курорт) – 2–3 балла, Андикан, Коканд, Хайдаркан – 2 балла. Землетрясение имело два афтершока.

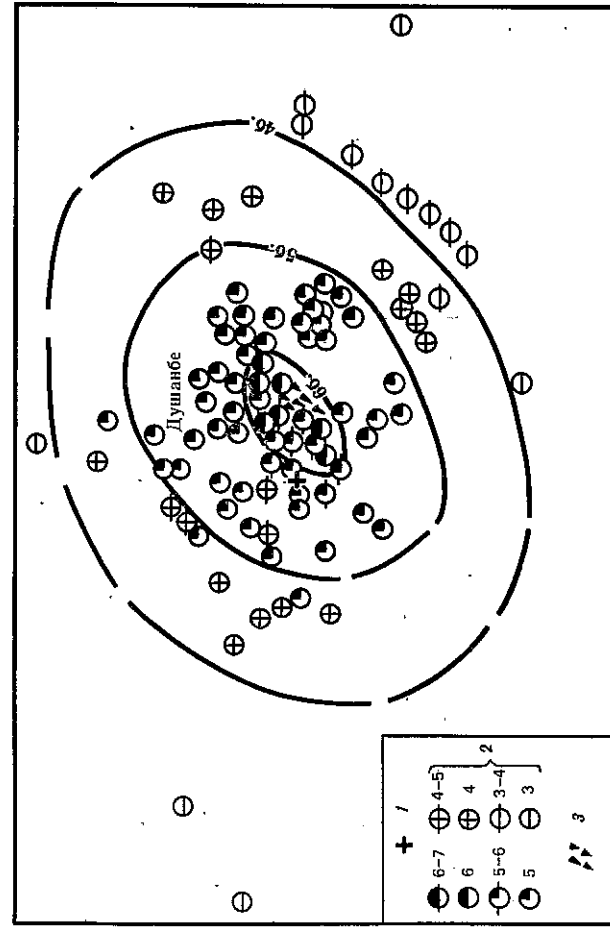


Рис. 4. Схема изосейсм Шурабского землетрясения 11.июля 1980 г. Сост. А.В. Шварц и В.К. Иодко,  
1 – эпицентр по инструментальным данным; 2 – балльность; 3 – изосейста

Таблица 5  
Макросейсмические данные о землетрясении 5 июля

№ п/п	Пункт	№ п/п	Пункт	№ п/п	Пункт
6 баллов		5 баллов		3 балла	
1 Тамга	11 Карасай	23 Тюп		24 Рыбачье	
2 Барскон	12 Покровка	25 Эльтекчилик			
3 Чонгожартачак	13 Боз-Бешик	26 Нерин			
4 Тоссор	14 Шалда	27 Тулек			
5 Актерек	15 Чолпон-Ата	28 Кым-Любे			
6 Каражи-Сай	16 Иржевильск	29 Кок-Маннак			
7 Дархан	17 Утакол	30 Бурчудай			
8 Бокомбаевское	18 Гурасу	31 Новороссийка			
9 Сары	4 балла	32 Ак-Тюз			
10 Тогуз-Булак	19 Аманьево	33 Калиновка			
	20 Орнок	34 Токмак			
	21 Талчи				
	22 Торугайтыр				
			3–4 балла		

38

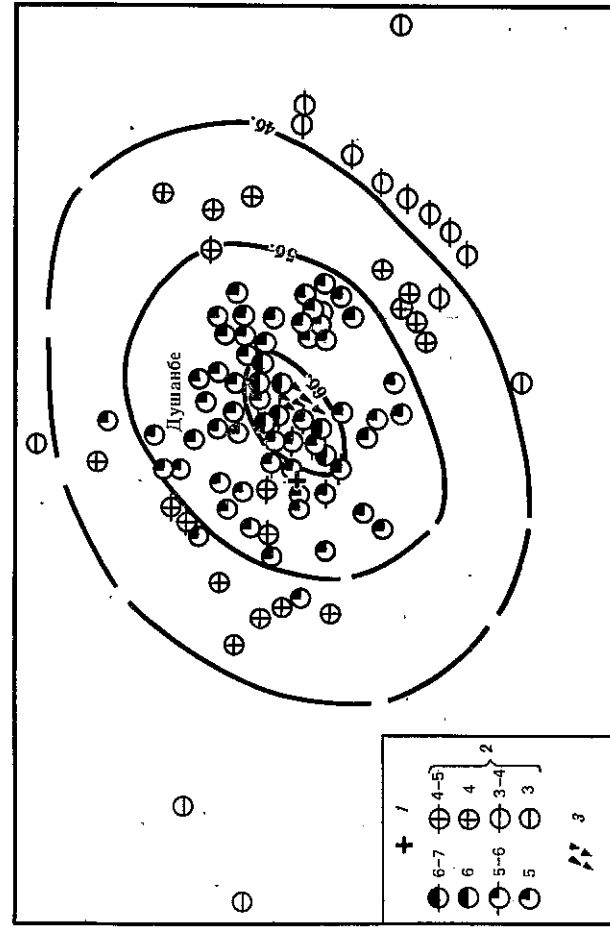


Рис. 5. Схема изосейсм Душанбинского землетрясения 16 декабря 1980 г. Сост. Х.М. Мирзобаев,  
Р.У.Джурлев  
1 – эпицентр по инструментальным данным; 2 – балльность; 3 – обвал сухих лессовых пород

Таблица 6

## Макроseismические данные о землетрясении 11 июля

№ п/п	Пункт	№ п/п	Пункт	№ п/п	Пункт	№ п/п	Пункт
	5 баллов						
1	Навабад	18	Ленинабад	36	Наманган		
2	Шураб	19	Бекабад	37	Комсомолабад		
	4-5 баллов	20	Бустон	38	Ташкент		
3	Недреабад					39	Сырдарья
4	Исрара	21	Раваг	40	Обларм		
5	Зумрад	22	Карабулак	41	Душанбе		
	4 балла	23	Лайляк	42	Пенджикент		
6	Ким	24	Сулукта	43	Красногвардейск		
7	Кулькент	25	Хайдаркан	44	Самарканд		
8	Самарканделек	26	Пролетарск	45	Андржан		
9	Чорку	27	Нау	46	Капанхум		
	3-4 балла	28	Алматык	47	Ош		
10	Новоасторийка	29	Пскент	48	Кульбай		
11	Канибадам	30	Ура-Тобе	49	Кансай		
12	Кохоз "Коммунизм"	31	Зафараабад	50	Ангрен		
13	Рашкан	32	Ханаст	51	Ахангаран		
14	Ляйсан	33	Аксурган	52	Чуст		
15	Баткен	34	Солдатский	53	Джиргаталь		
16	Коканд		2-3 балла	54	Заминин		
17	Кайраккум	35	Фергана	55	Джиззак		
				56	Дангара		

К северо-востоку от этой группы эпицентров 20 июля зарегистрировано землетрясение с  $K = 12$ ,  $H = 20$  км. Оно опустилось в Янги-Кургане 5-6 баллов, Услеюковке, Ташкумyre — 5 баллов, Майли-Сае, Чартаке (курорт) — 4-5 баллов, Сумсарс, Хакулаваде — 4 балла, Джалал-Абаде, Пахтабаде (Кокан-кишлак), Брикмулле — 3 балла, Оше, Намангане, Андижане — 2-3 балла, Ангрене, Ташкенте — 2 балла. Через сутки последовал афтершок с  $K = 10$ , который опустился в Ургатоке, Янги-Кургане — 3-4 балла, Тапи-Кумыре, Чартаке (курорт) — 3 балла, в Оше, Джалал-Абаде, Андижане — 2-3 балла, Сумсаре — 2 балла.

✓ В Северной части Таджикистана, в пределах южного обрамления Ферганской долины, 11 июля произошло землетрясение с  $K = 13$  ( $M = 5$ ). Колебания опустились на его приурочен к одному из разрывов, опирающим Южно-Ферганский разлом, где и в прошлом происходили разрушительные землетрясения [5]. По инструментальным данным, его очаг находился в пределах земной коры, по макроseismическим —  $h_I = 25$  км,  $h_{I_0 M} = 18$  км. Характерными особенностями данного землетрясения являются небольшая протяженность изосейст высших баллов и довольно значительныйхват территории интенсивностью 3 балла. Землетрясение сопровождалось гулом. В отдельных зданиях из рваного камня, испытавших не одно землетрясение, раскрылись старые трещины и вдоль них отслаивались кусочки штукатурки. Наблюдалось падение легких и неустойчиво стоящих предметов.

В Узбекистане 11 декабря произошло Назарбекское землетрясение. Основной толчок сопровождался сильным подземным гулом и свечением в атмосфере. Заnim последовала серия афтершоков. В эпицентральной зоне на поверхности земли появились трещины в аварийное состояние. Наблюдались повреждения дымовых труб неко торых построек.

Изосейсты этого землетрясения образуют форму эллипса, выпнутого в северо восточном направлении согласно профилю Ильяского разлома. В зоне шестиградиального сотрясения в зданиях из рваного камня, в домах из кирпича-сырца, глинообитных домах, построенных без учета антисейсмических мероприятий, появилось множество различно ориентированных сквозных, часто раскрытых трещин шириной до 1-2 см, особенно в угловых сопряжениях стен, над дверьми и оконными проемами. В обычных кирничных домах, зданиях крупноблокового и панельного типа, зданиях из естественного тесаного камня образовались трещины в несущих стенах и стали шире старые трещины.

Недалеко от Душанбе произошли обвалы крутых и высоких лессовых откосов. Объем сместившихся масс достигал 120-150 м<sup>3</sup>. Отметим, что на сейсмический эффект в г. Душанбе оказали влияние инженерно-геологические условия территории.

В эпицентральной зоне палеозойской Фундамента по геолого-геофизическим данным находится на глубине 7-9 км. Глубина очага Душанбинского землетрясения, определенная по инструментальным данным, составляет 3-5 км, по макросейсмическим —

$h_I = 7$  км,  $h_{I_0 M} = 5$  км. Исходя из этого можно предположить, что очаг землетрясения

приурочен к зоне контакта кристаллического фундамента и осадочного чехла. В районе указанного очага происходили землетрясения в 1955, 1956 и 1960 гг.

В южной части долины Кафирнигана 26 июня зарегистрировано землетрясение с  $K = 12$ . Максимальный сейсмический эффект землетрясения интенсивностью 5 баллов отмечен в кишлаке Чуючи, 4-5 баллов — в кишлаках Кахрамон и Сайёл, 4 балла — в Шаартузе и Лянин Юли, 3-4 балла — в Дайлякуя и Кошады, 3 балла — в Кунь-Цикты, Бешкапче, Чоршамбе, Чирчике, Кызыл-Тепе, 2-3 балла — в Темлик-Тоше и Айвадже. Землетрясение проявилось на небольшой глубине (по макросейсмическим данным  $H = 10 \div 15$  км). Землетрясение произошло в районе, где в прошлом известны землетрясения силой до 6-7 баллов [6]. Характер их проявления сходен: жители опустили вертикальные толчки и слышали гул. Максимальное сотрясение отмечалось на небольшой площади, что обусловлено либо вертикальной протяженностью очага, либо усилившим эффекта за счет инженерно-геологических условий.

Выделяется скопление эпицентров землетрясений в юго-западной части Дарваз-Каракульского разлома. Это в основном землетрясения с  $K = 10 \div 11$ , которые в населенных пунктах опустились силой не более 4 баллов. Несколько сильнее проявилось землетрясение 24 сентября с  $K = 11$ , произшедшее к северо-востоку от Куйяба, где оно опустилось силой 4 балла.

Землетрясение 13 января, проходившее в центральной части Памиро-Залайского

хребта с  $K = 13$ , интенсивностью в 4-5 баллов опустилось в Дарват-Кургане, 4 балла —

в Джекенды и Сары-Гаше, 3-4 балла — в Кызыл-Кий, Узгене, Араване, Джидалике,

Хайдаркане, 3 балла — в Гульче, Суфи-Кургане, Карасу, Наукаге, Оши, Конкор-Ате,

Таш-Кумыре, Джалил-Абаде, Андижане, Намангане, Кумз, Аудале, Фергане, Джиргатале. В Хасулабаде было 2-3 балла, в Ташкенте, Исфаре, Каракуме — 2 балла.

✓ Эпицентр другого землетрясения с  $K = 13$ , произшедшего 17 января, приурочен

в западной части Залайского хребта. Оно вызвало сейсмический эффект интен-

сиских трещин различной ориентации. Землетрясение ощущалось на большой площа-

ди. Более подробные сведения о нем приведены в отдельной статье.

В Гиссарской долине 16 декабря произошло землетрясение, названное Душанбинским (рис. 5, табл. 7). Землетрясение сопровождалось гулом. В комнатах падали предметы с полок. Жители выбегали из помещений. Эпицентральная зона, где сила сотрясения достигла 6-7 баллов, расположена на территории колхоза "Ленинград" Таджикской республики на участке им. Жданова. В жилых домах из сырцового кирпича и других сельских строениях появились многочисленные сквозные, часто раскрытые трещины различной ориентации: вертикальные, косые, горизонтальные, приведшие эти строения в аварийное состояние. Наблюдались повреждения дымовых труб неко торых построек.

Изосейсты этого землетрясения образуют форму эллипса, выпнутого в северо-восточном направлении согласно профилю Ильяского разлома. В зоне шестиградиального сотрясения в зданиях из рваного камня, в домах из кирпича-сырца, глинообитных домах, построенных без учета антисейсмических мероприятий, появилось множество различно ориентированных сквозных, часто раскрытых трещин шириной 1-2 см, особенно в угловых сопряжениях стен, над дверьми и оконными проемами. В обычных кирничных домах, зданиях крупноблокового и панельного типа, зданиях из естественного тесаного камня образовались трещины в несущих стенах и стали шире старые трещины.

Недалеко от Душанбе произошли обвалы крутых и высоких лессовых откосов. Объем сместившихся масс достигал 120-150 м<sup>3</sup>. Отметим, что на сейсмический эффект в г. Душанбе оказали влияние инженерно-геологические условия территории. В эпицентральной зоне палеозойской Фундамента по геолого-геофизическим данным находится на глубине 7-9 км. Глубина очага Душанбинского землетрясения, определенная по инструментальным данным, составляет 3-5 км, по макросейсмическим —  $h_I = 7$  км,  $h_{I_0 M} = 5$  км. Исходя из этого можно предположить, что очаг землетрясения приурочен к зоне контакта кристаллического фундамента и осадочного чехла. В районе указанного очага происходили землетрясения в 1955, 1956 и 1960 гг.

В южной части долины Кафирнигана 26 июня зарегистрировано землетрясение с  $K = 12$ . Максимальный сейсмический эффект землетрясения интенсивностью 5 баллов отмечен в кишлаке Чуючи, 4-5 баллов — в кишлаках Кахрамон и Сайёл, 4 балла — в Шаартузе и Лянин Юли, 3-4 балла — в Дайлякуя и Кошады, 3 балла — в Кунь-Цикты, Бешкапче, Чоршамбе, Чирчике, Кызыл-Тепе, 2-3 балла — в Темлик-Тоше и Айвадже. Землетрясение проявилось на небольшой глубине (по макросейсмическим данным  $H = 10 \div 15$  км).

Землетрясение произошло в районе, где в прошлом известны землетрясения силой до 6-7 баллов [6]. Характер их проявления сходен: жители опустили вертикальные толчки и слышали гул. Максимальное сотрясение отмечалось на небольшой площади, что обусловлено либо вертикальной протяженностью очага, либо усилившим эффекта за счет инженерно-геологических условий.

Выделяется скопление эпицентров землетрясений в юго-западной части Дарваз-Каракульского разлома. Это в основном землетрясения с  $K = 10 \div 11$ , которые в населенных пунктах опустились силой не более 4 баллов. Несколько сильнее проявилось землетрясение 24 сентября с  $K = 11$ , произшедшее к северо-востоку от Куйяба, где оно опустилось силой 4 балла.

Землетрясение 13 января, проходившее в центральной части Памиро-Залайского хребта с  $K = 13$ , интенсивностью в 4-5 баллов опустилось в Дарват-Кургане, 4 балла —

в Джекенды и Сары-Гаше, 3-4 балла — в Кызыл-Кий, Узгене, Араване, Джидалике,

Хайдаркане, 3 балла — в Гульче, Суфи-Кургане, Карасу, Наукаге, Оши, Конкор-Ате,

Таш-Кумыре, Джалил-Абаде, Андижане, Намангане, Кумз, Аудале, Фергане, Джиргатале. В Хасулабаде было 2-3 балла, в Ташкенте, Исфаре, Каракуме — 2 балла.

✓ Эпицентр другого землетрясения с  $K = 13$ , произшедшего 17 января, приурочен

Таблица 7

## Макросейсмические данные о землетрясении 16 декабря

№ п/п	Пункт	№ п/п	Пункт	№ п/п	Пункт	№ п/п	Пункт
	<b>6–7 баллов</b>		<b>5 баллов</b>				
1	Участок им. Жданова	30	Шурбулук	66	Чайракорон	66	Чайракорон
	колхоза "Ленинград"	31	Участок Кирова	67	Межколонна	67	Межколонна
2	Школа № 18 колхоза "Ленинград"	32	Ляур	68	Орджоникидзеабад	68	Орджоникидзеабад
					<b>4 балла</b>		
	<b>6 баллов</b>						
3	пос. Ленинский	33	Кирма	69	Гиссарская крепость	69	Гиссарская крепость
4	Янгиабад	34	Савзикор	70	Шураб	70	Шураб
5	Птицефабрика	35	Док	71	Кунинбай	71	Кунинбай
6	Казын-Аскар	36	Кара-Боло	72	Хайтинав	72	Хайтинав
7	Хиргатарой	37	Учкуль	73	Гиссар	73	Гиссар
					Чучу-Боло-	74	Чучу-Боло-
					Чуц-Пойн	75	Чуц-Пойн
	<b>5–6 баллов</b>						
8	Риссовхоз	42	Пос. Калинина	76	Чорбог	76	Чорбог
9	Колхоз Кирова	43	Академгородок	77	Тутбулак	77	Тутбулак
10	Олий Совет	44	Оқиҷар	78	Миррамшои	78	Миррамшои
11	Пункт № 1	45	Гулисой	79	Чаманбулук	79	Чаманбулук
12	Пункт № 2	46	Бурма	80	Андритон	80	Андритон
13	Янгикургон	47	Кызыл Аскер	81	Лакайбети	81	Лакайбети
14	Сельхозтехника	48	Воднососная	82	Совхоз Орджони-	82	Совхоз Орджони-
15	Колхоз "Россия"	49	Джангапабад	83	кипебад	83	кипебад
16	Дунгузали	50	Чинор	84	<b>3–4 балла</b>		
17	Колхоз "Ленинград"	51	Абден	85	Дагана	85	Дагана
18	Южный	52	Карасу	86	Яванс	86	Яванс
19	г. Душанбе, центр	53	Тегари-Боло	87	Озодик	87	Озодик
	плотинки Ленина	54	Султанибад	88	Охуджар	88	Охуджар
		55	Кентиш	89	Хасани	89	Хасани
		56	Джалабулук	90	Кубинот	90	Кубинот
		57	Мулодавод	91	Гулакандоз	91	Гулакандоз
	<b>5 баллов</b>				Сурхепша		
20	Пункт № 3	58	Театри-Пойн	92	Зардолу		
21	Чимтепса вост.	59	Галаабулук	93			
22	Чимтепса запад.	60	Минботман	94			
23	Советский-2	61	Илок	95			
24	Макмадло	62	Гульиста	96			
25	Ширхона	63	Кулибулук	97			
26	Политехникум	64		98			
27	Советский-1	65		99			
28	Тубер			100			
29	Институт землемеделия			101			
					<b>3 балла</b>		

Н.Н. Михайлова, А.А. Власова  
Землетрясения Северного Тянь-Шаня

1. Уломов В.И., Филонова М.Г., Каток А.П. и др. Землетрясения Средней Азии и Казахстана. – В кн.: "Землетрясения в СССР в 1976 году. М.: Наука, 1980. с. 27–39.
2. Марзоев К.М., Биринова А.Я., Голубянков В.П. и др. Сейсмическая обстановка в Средней Азии и Казахстане в 1979 году. – В кн.: Землетрясения Средней Азии и Казахстана, 1979. Душанбе: Душанбе, 1981, с. 7–37.
3. Власова А., Джураев Р.У., Ибодко В.К. и др. Макросейсмическое описание землетрясений. – В кн.: Землетрясения Средней Азии и Казахстана, 1979, Душанбе: Душанбе, 1981, с. 38–66.
4. Джанузиков К., Имъясов Б. Сарыкамышское (Пржевальское) землетрясение 5 июня 1970 г. – В кн.: Землетрясения в СССР в 1970 году. М.: Наука, 1973, с. 105–117.
5. Ибраимов Р.Н. Сейсмоконтакт Ферганской впадины. Ташкент: Фан, 1970, с. 163.
6. Кинчина Т.А., Нечев В.А. Айваджское землетрясение 1967 г. – В кн.: Сильные землетрясения Средней Азии и Казахстана. Душанбе: Душанбе, 1975, № 2/4, с. 153–167.

УДК 550.348.436(235.216)

Система сейсмометрии аппаратуры сейсмических станций Северного Тянь-Шаня, работающей в непрерывном режиме, приведены в таблице. Кроме того, все станции оснащены приборами для регистрации сильных землетрясений.

Такая система наблюдений позволяет осуществлять представительскую регистрацию землетрясений с  $K = 7$  на территории хребтов Залийской, Куныг- и Терской-Ага-того, т.е. на большей части района исследований, ограниченного координатами  $41^{\circ}41' - 45^{\circ}30'$  с. ш.,  $75^{\circ}00' - 80^{\circ}00'$  в. д. Для всей территории представительным является восьмой энергетический класс (рис. 1). Этот вывод сделан на основе анализа экспериментальных зависимостей  $K_{\text{min}} = f(\Delta)$  для каждой станции и подтверждается графически повторяемости землетрясений (рис. 2).

При обработке результатов наблюдений систематически использовались материалы

Вдоль восточных границ Средней Азии произошло три землетрясения с  $K = 12 \div 14$ .

Самое сильное из них с  $K = 14$  было 13 февраля в Каракоруме. На территории нашей страны оно ощущалось на Памире интенсивностью до 4 баллов в Токтомусе (150 км) и Мургабе (200 км). На расстоянии 350–400 км в Рощорве, Савнобе, Басиде, Барда-ре, Барзилеве, Жаныхере, Хороге и Карагенте колебания были значительно слабее – около 3 баллов, в Гарме, Фергане, Андикане, Кулябе – 2–3 балла. В Душанбе колебания замечены отдельными жителями на верхних этажах зданий. Землетрясение с  $K = 13$  произошло 31 июля в западной Кашгарии, в восточных отрогах Заилийского хребта. Колебания, вызванные им, были едва заметны в Хороге и Андижане и ощущаются в 2 балла. Самое северное из этих трех землетрясений произошло 15 февраля в северо-западной Кашгарии к юго-востоку от оз. Иссык-Куль. В Пржевальске оно опустилось спустя 3 балла.

Ощущимые землетрясения, происшедшие на территории Афганистана в северных отрогах Гиндукуша, не отличались в этом году большой интенсивностью ( $K = 12 \div 14$ ), их очаги залегали на глубине 80–220 км. Силой до 4 баллов они ощущались в Хороге и Ишканчике, на осталной территории Таджикистана оно проявилось с силой не более 3 баллов.

43

42

Таблица 7

## Макросейсмические данные о землетрясении 16 декабря

№ п/п	Пункт	№ п/п	Пункт		№ п/п	Пункт
			№ п/п	№ п/п		
<b>6-7 баллов</b>						
1	Участок им. Жданова колхоза "Ленинград"	30	Шурбулак	56	Чойракорон Мехколония	
	Школа № 18 колхоза "Ленинград"	31	Участок Кирова	66	Орджоникидзеабад	
2		32	Ляур	67		
		33	Кирма	68	4 балла	
		34	Сабзикор	69	Гиссарская крепость.	
		35	Док	70	Шураб	
		36	Кара-Боло	71	Кунбай	
3	пос. Ленинский	37	Учкут	72	Хайтинау	
4	Янгиабад	38	Окули-Лоён	73	Гиссар	
5	Птицефабрика	39	Гулистан	74	Чучу-Боло-	
6	Кызыл-Аскар	40	Балдаргон	75	Чучу-Лёйн	
7	Хиргатарон	41	Рангон	76	Чорбог	
		42	Пос. Калинина	77	Тутбулак	
		43	Академгородок	78	Мирамшои	
		44	Окжар	79	Чаманбулак	
		45	Гулсой	80	Андигон	
		46	Бурма	81	Лакайбеги	
8	Риссовхоз	47	Кызыл Аскар	82.	Совхоз Орджоникидзеабад	
9	Коххоз Кирова	48	Водонасосная			
10	Отий Совет	49	Джангалаабад			
		50	Чинор			
		51	Аблен	83	Дагана	
		52	Карасу	84	Яван	
11	Пункт № 1	53	Тезары-Боло	85	Озоцца	
12	Пункт № 2	54	Сугтанаабад	86	Охуджар	
13	Янтикурон	55	Кеттол	87	Хасани	
14	Сельхозтехника	56	Джалыкбулак	88	Куймот	
15	Коххоз "Россия", Дунгузуды	57	Муллодавод	89	Гулакандоз	
16	Коххоз "Ленинград"	58	Тезары-Лоён	90	Сурхеппа	
17		59	Ганбулак	91	Зардолуу	
		60	Минботман			
		61	Итог			
					3 балла	
					Шурча	
21	Чимтепа вост.				Варзоб	
22	Чимтепа западн.				Махринау	
23	Советский-2				Турунзаде	
24	Мамаддо	62	Гульиста	92		
25	Дирхона	63	Кульбулак	93		
26	Политехникум					
27	Советский-1					
28	Тубет	64	Гипроузем	94		
29	Институт землеустройства	65	Рудаки.	95		
				96		

сивностью 4-5 баллов в Джекенди, Кара-Тепе. В Дараут-Кургане было 4 балла, в Джидапеке – 3-4 балла, в Гульче, Оше, Хайдарсане, Джалратале, Балыржувоне – 3 балла. На территории Афганистана к югу от Пянджа 14 февраля произошло землетрясение с  $K = 13$ . Оно опущалось в Пяндже силой 4-5 баллов, в Дуланбе и Гарме – 2-3 балла. Землетрясение сопровождалось афтершоками, наиболее сильные из них зарегистрированы через 24 мин после основного толчка с  $K = 12$  (в Пяндже – 3 балла, в Дуланбе 2-3 балла) и через 9 ч с  $K = 11$  (в Пяндже – 2-3 балла).

Нужнее этой группы эпицентров 14 апреля отмечено землетрясение с  $K = 14$ . Интенсивность в 4 балла оно ощущалось в Пяндже, Дасти, Дангаре, Шаартуз; Обигарме и Курган-Тобе – 3-4 балла; Душанбе, Хороге, Кулябе, Айвадже и на сейсмических станциях Карасу и Чуйнаторон – 3 балла.